

DOI: 10.26896/1028-6861-2018-84-10-35-40

## ИССЛЕДОВАНИЕ МОНОКРИСТАЛЛИЧЕСКИХ РАБОЧИХ ТУРБИННЫХ ЛОПАТОК ИЗ СПЛАВА ЖС32 С ПЕРСПЕКТИВНОЙ СХЕМОЙ ОХЛАЖДЕНИЯ

© Евгений Викторович Колядов, Лидия Ивановна Рассохина,  
Елена Михайловна Висик, Виктор Владимирович Герасимов,  
Елена Владимировна Филонова

Всероссийский НИИ авиационных материалов (ВИАМ), Москва, Россия; e-mail: admin@viam.ru

*Статья поступила 10 января 2018 г.*

Представлены результаты исследования монокристаллических рабочих турбинных лопаток с перспективной схемой охлаждения, отлитых из жаропрочного сплава ЖС32 с использованием керамических стержней с высокотемпературными спекающими добавками и дополнительной пропиткой раствором лака. Доработана программа кристаллизации лопаток с монокристаллической структурой на установке ВИП-НК. Проведено сравнение режимов работы обновленной программы и серийной технологии. Получена опытная партия отливок в производственных условиях машиностроительного предприятия (выход годного по монокристаллической структуре литья — 94 %). Отливки лопаток исследовали методами рентгеноструктурного, рентгенографического и ультразвукового контроля. Проведен количественный металлографический анализ на оптическом комплексе, оценены междендритное расстояние между осями дендритов первого порядка ( $\Lambda_1$ ) сплава и объемная доля микропор в сечении пера и замка отливок. Полученные данные исследования макро- и микроструктуры методом растровой электронной микроскопии показали, что структура типична для сплава ЖС32 в литом состоянии и хорошо сформирована в элементах внутренней полости монокристаллических отливок.

**Ключевые слова:** жаропрочные никелевые сплавы; монокристаллы; направленная кристаллизация; керамический стержень; макротравление; малоугловые границы; разориентация блоков структуры.

## STUDY OF SINGLE CRYSTAL TURBINE BLADES MADE OF ZhS32 ALLOY WITH A PROMISING SCHEME OF COOLING

© Evgeny V. Kolyadov, Lidiya I. Rassohina, Elena M. Visik,  
Victor V. Gerasimov, Elena V. Filonova

All-Russian Scientific Research Institute of Aviation Materials (VIAM), Moscow, Russia; e-mail: admin@viam.ru

*Submitted January 10, 2018.*

The results of studying single-crystal turbine blades with a promising scheme of cooling, cast from a heat-resistant ZhS32 alloy using ceramic rods with high-temperature sintering additives and additional impregnation with a varnish solution are presented. The program of crystallizing blades with a single-crystal structure is improved on a VIP-NK installation. A comparison of the operation modes of the updated program and serial technology is presented. A pilot batch of blade castings is obtained under production conditions of a machine-building enterprise with an output suitable in single-crystal structure of about 94%. Blade castings are studied using X-ray diffraction, X-ray and ultrasound methods. Quantitative metallographic analysis is carried out on an optical complex to determine spacing between axes of the first order dendrites ( $\Lambda_1$ ) of the alloy and the volume fraction of the micropores in the cross section of the pen and casting lock. The results of scanning electron microscopy study of macro-and microstructure of the blade castings with a promising cooling scheme showed that the structure is typical for ZhS32alloy in the cast state and is well formed in the elements of the inner cavity of monocrystalline blades.

**Keywords:** refractory nickel superalloys; single crystals; directional crystallization; high-temperature nickel alloys; ceramic rod; single crystals; macro-etching; micro-etching; large-angle boundaries; small-angle boundaries; disordering of structural blocks.

Температура газа на входе в турбину перспективных авиационных газотурбинных двигателей (ГТД) может быть увеличена за счет повышения жаропрочности никелевых сплавов [1 – 3] рабочих лопаток с монокристаллической структурой [4 – 5] и совершенствования схем воздушного охлаждения их внутренней полости [11].

В процессе работы температура материала лопаток горячего тракта современных ГТД может достигать 1400 – 1500, лопаток с монокристаллической структурой — 1700 К. Жаропрочные никелевые сплавы четвертого и пятого поколений для монокристаллического литья (ВЖМ4, ВЖМ6, ВЖМ8), легированные рением и рутением, превосходят по жаропрочности серийные сплавы (ЖС26, ЖС32, ЖС36) на 50 – 100 °C [7 – 11]. Однако задача эффективного воздушного охлаждения лопаток при снижении расхода охлаждающего воздуха чрезвычайно актуальна.

Для повышения эффективности конвективно-пленоочного охлаждения и улучшения теплопередачи внутренней полости лопатки необходимо использовать такие элементы, как мелкие ребра, турбулизирующие штырьки и др., что на практике обеспечивается новой конструкцией стержня, оформляющего внутреннюю полость, совершенствованием технологии его изготовления и фиксации в модели изделия, а также отработкой технологических режимов монокристаллического литья [11 – 16].

Цель работы — исследование литых турбинных лопаток с монокристаллической структурой из жаропрочного никелевого сплава ЖС32 с новой перспективной схемой охлаждения внутренней полости.

Партию керамических стержней для литья рабочих лопаток с новой схемой конвективно-пленоочного охлаждения (КПО) изготовили из двух стержневых масс опытных составов с высокотемпературными спекающими добавками мар-

шалита и пропиткой раствором лака КО-85, поскольку основная причина низкого выхода годных отливок лопаток с КПО — повышенный брак стержней из серийных керамических масс [16]. Для снижения риска выхода стержня из строя в момент заливки керамической формы расплавом на одной части восковых моделей стержень фиксировали «жеребейкой» из платино-родиевого сплава (по серийной технологии), на другой части в собранных блоках «жеребейки» не устанавливали.

Для уменьшения гидродинамического давления расплава на керамический стержень в процессе заливки модели собирали в литейный блок с Т-образным каналом-питателем для каждого двух моделей лопаток (рис. 1). Керамические литейные блоки изготавливали по серийному процессу на основе керамической сuspензии смеси порошков электрокорунда с прочностью керамической формы на образцах-свидетелях после прокалки  $\sigma_b = 140 - 300$  МПа.

Отливку монокристаллических рабочих лопаток с КПО из жаропрочного сплава ЖС32 с заданной кристаллографической ориентацией (КГО) [001] проводили на установке ВИП-НК для направленной кристаллизации с охлаждением керамических форм в жидкотемпературном кристаллизаторе (алюминии) при градиенте температур на фронте кристаллизации сплава  $G = 60 - 80$  град/см.

Для получения монокристаллической структуры заданной аксиальной ориентации использовали монокристаллические затравки с отклонением от направления [001] не более 3° из сплава Ni – W с температурой плавления на ~160 °C выше температуры солидуса жаропрочного сплава. Затравки устанавливали в керамические лопаточные формы перед плавкой, затем два блока керамических форм с затравками на специальной подвеске помещали в печь подогрева форм (ППФ) литейной установки.

Доработанная программа кристаллизации лопаток для установки ВИП-НК, в отличие от серийного процесса, включала измененные режимы охлаждения отливок по окончании перемещения в жидкотемпературный охладитель (регулируемое охлаждение со скоростями 12 — для верхнего и 19 °C/мин — для нижнего нагревателей до температур 1250 и 1100 °C соответственно). Провели две заливки сплава ЖС32 в лопаточные блоки (по два блока в плавке) с переменной скоростью перемещения формы из зоны нагрева в жидкотемпературный охладитель (с 8 — от начала перемещения формы до 5 мм/мин — при кристаллизации полки и замка). Также уменьшили разницу температур на форме по высоте в ППФ, увеличили глубину погружения формы в охлади-

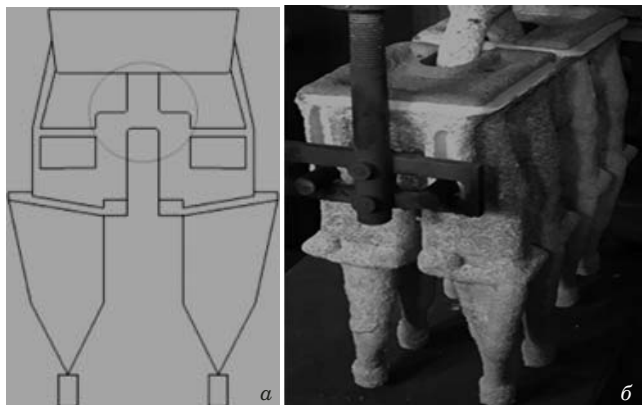


Рис. 1. Схема модельного блока (а) и керамические блоки лопаток с КПО (б)

**Таблица 1.** Температурно-скоростные режимы плавок лопаток на установке ВИП-НК

Параметр	Доработанная программа кристаллизации (плавки № 1, 2)	Серийная технология
$T$ нагревателей, °C	1560 – 1600	1530 – 1630
$T$ перегрева расплава в тигле, °C	1650 ± 10	1600 ± 10
$T$ заливки расплава, °C	1580 ± 10	1550 ± 10
Скорость кристаллизации сплава $V_{kp}$ , мм/мин	8 – 5	8,5 – 11,5
Исходное положение формы перед заливкой	15 мм выше среза нижнего нагревателя	±10 мм от среза нижнего нагревателя
Глубина погружения форм лопаток	до середины замка	до полки

**Таблица 2.** Результаты анализа макроструктуры, рентгеноструктурного, рентгенографического и ультразвукового контроля толщин стенок и отклонения КГО монокристаллических отливок лопаток

№ п/п	Структура	Контроль		
		Рентгеноструктурный (отклонение оси лопатки от КГО [001], град)	Рентгенографический	Ультразвуковой (толщина стенок)
1	моно	5	годная	годная
2	2 зерна	—	брок по структуре	0,5 (по ТП 0,60 – 1,05)
3	моно	5	годная	0,5 (по ТП 0,60 – 1,05)
4	моно	5	годная	соответствует ТП
5	моно	9	годная	соответствует ТП
6	моно	10	годная	соответствует ТП
7	моно	3	годная	соответствует ТП
8	моно	4	годная	соответствует ТП
9	моно	7	годная	соответствует ТП
10	моно	7	слом полки в модели	—
11	моно	2	годная	соответствует ТП
12	моно	4	выход стержня	—
13	моно	2	выход стержня	—
14	моно	5	выход стержня	—
15	моно	8	годная	соответствует ТП
16	моно	9	годная	0,5 (по ТП 0,60 – 1,05)

тель — до середины замка. В табл. 1 представлены режимы доработанной программы кристаллизации лопаток, а также серийной технологии.

Контроль макроструктуры отливок, полученных после травления (рис. 2), показал, что выход годного литья составляет 94 %.

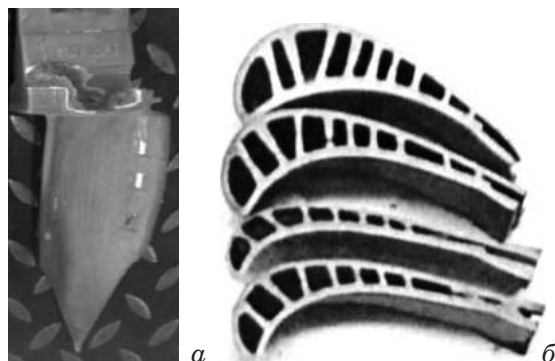
Кристаллографическую ориентацию монокристаллических лопаток исследовали методом рентгеноструктурного анализа на стартовых конусах, предварительно отрезанных от каждого изделия в характеристическом излучении  $\text{CuKa}_1$  на автоматизированной установке типа «ДРОН». Установили, что отливки имеют монокристаллическую структуру с отклонением менее  $10^\circ$  от данной КГО [001], что соответствует принятым техническим требованиям.

В табл. 2 приведены данные рентгеноструктурного анализа опытной партии монокристаллических отливок лопаток, полученных на уста-

**Таблица 3.** Результаты количественного металлографического анализа отливок лопаток с КПО

Отливка (см. табл. 2)	№ плавки	Междендритное расстояние между осями первого порядка $\lambda_1$ , мкм	Объемная доля микропор, %
№ 4 (перо)	1	260	0,02
№ 4 (замок)	1	350	0,35
№ 4 (полка)	1	370	0,34
№ 9 (перо)	2	230	0,09
№ 9 (полка)	2	250	0,31
№ 9 (замок)	2	320	0,29

новке ВИП-НК. Видно, что скорректированные температурно-скоростные режимы направленной кристаллизации, конструкция лопаточных блоков обеспечивают получение монокристалли-

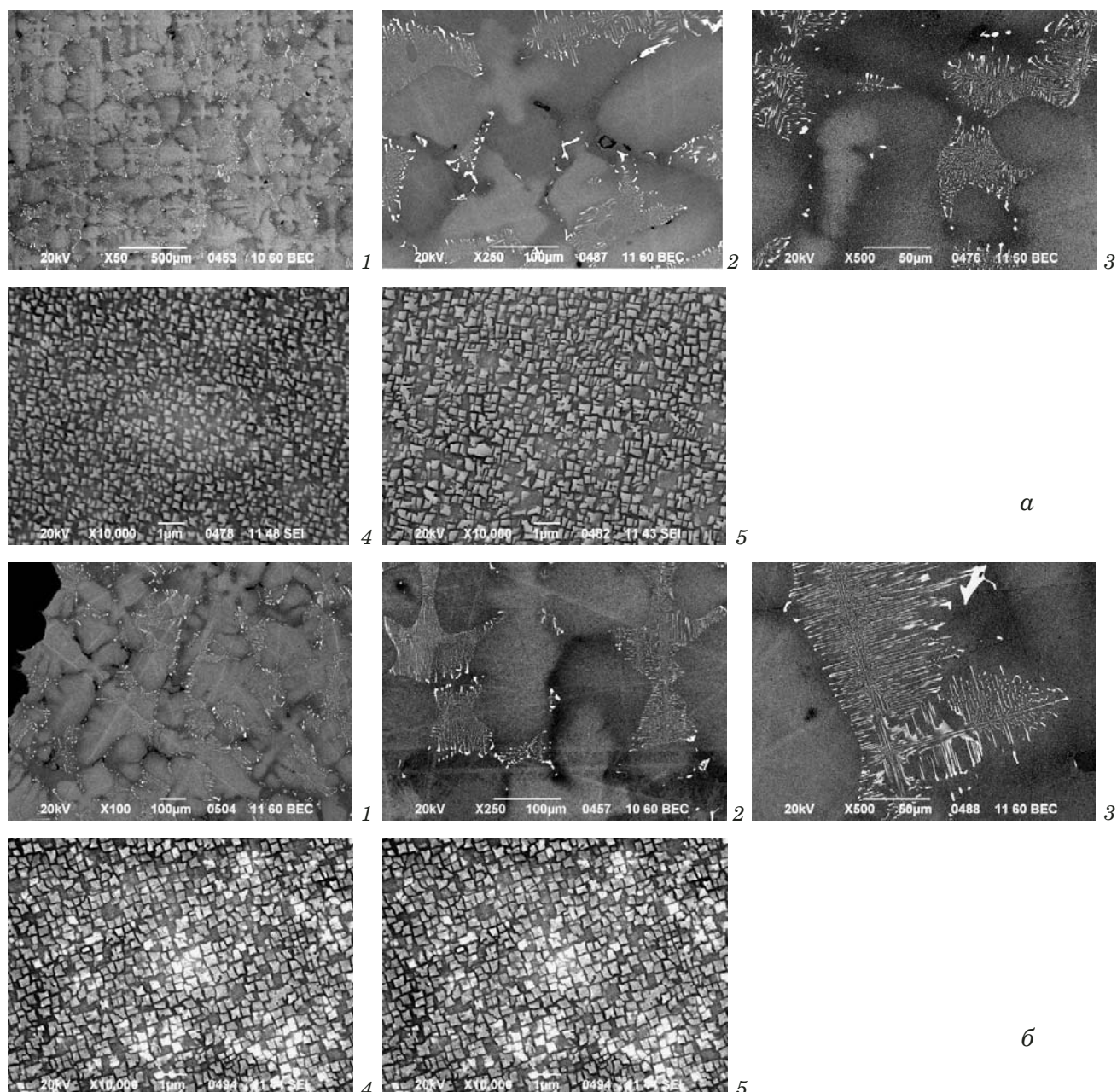


**Рис. 2.** Отливка рабочей лопатки (а), макрошлифы попечиного сечения профиля пера лопатки после удаления стержня (б)

ческой структуры заданной КГО [001] в отливках рабочих лопаток, включая полки и замки.

После удаления керамики из внутренней полости лопаток отливки контролировали методом рентгеновской дефектоскопии. Все лопатки оказались годными, качество поверхности соответствовало нормам допустимых дефектов. У трех образцов (из 16) выявили дефект «выход стержня» (у двух — на корыто лопатки со стороны входной кромки, у третьего — на спинку).

После рентгенографического исследования выход годного литья составил 75 % от числа заливных лопаток.



**Рис. 3.** Микроструктуры пера (плавка № 1) (а) и замка лопатки (плавка № 2) (б): 1 — ячеисто-дендритная структура; 2, 3 — эвтектическая γ'-фаза и карбидная эвтектика в междendритных областях; 4, 5 — морфология частиц γ'-фазы в осях дendirитов и на междendритных участках

Провели также ультразвуковой анализ толщин стенок отливок (см. табл. 2) на соответствие техпроцессу (ТП). По его результатам четыре отливки забраковали.

Отметим, что пропитка стержней раствором лака КО-85 в этилцеллозольве позволила снизить процент брака по короблению стержней в процессе заливки и получить годные отливки без использования «жеребеек».

Микроструктуру исследовали на вырезанных из отливок микрошлифах. Для количественного металлографического анализа использовали оптический комплекс Leica (табл. 3).

Исследования методом растровой электронной микроскопии проводили с помощью электронного микроскопа JSM6490-LV (рис. 3). Получили, что в литом состоянии микроструктура монокристаллов сплава ЖС32 в отливках рабочих лопаток имеет дендритно-ячеистое строение и характеризуется химической неоднородностью в пределах дендритной ячейки, обусловленной микроликвиацией легирующих элементов в процессе направленной кристаллизации, а также наличием в междендритных областях неравновесных выделений эвтектики  $γ + γ'$  и литейной (первичной) микропористости [17]. В микроструктуре наблюдается размерная и морфологическая неоднородности частиц упрочняющей  $γ'$ -фазы (в осях дендритов фаза значительно мельче, чем на междендритных участках). Около эвтектической  $γ'$ -фазы присутствуют литейные микропоры, размер которых в замке составляет до 30 мкм. Наличие рыхлоты в полках лопаток не обнаружили.

В результате этого уменьшаются размер литейных микропор в замковой части и их объемная доля, что положительно оказывается на свойствах изделий.

Таким образом, проведенные исследования отливок рабочих лопаток из сплава ЖС32 с новой перспективной схемой охлаждения внутренней полости показали, что отливка лопаток по доработанной программе кристаллизации на литейной установке ВИП-НК обеспечивает получение изделий с монокристаллической структурой, хорошо сформированной в элементах внутренней полости (отклонение не более  $10^\circ$  от заданной аксиальной ориентации [001]), и выходом годного по макроструктуре литья  $\geq 90\%$ . При этом микроструктура типична для сплава ЖС32 в литом состоянии (более дисперсная в пере, чем в замковой части, объемная доля микропористости — в пределах технических требований на лопатки).

## ЛИТЕРАТУРА

1. Каблов Е. Н. Инновационные разработки ФГУП «ВИАМ» ГНЦ РФ по реализации «Стратегических направлений развития материалов и технологий их переработки на период до 2030 года» / Авиационные материалы и технологии. 2015. № 1. С. 3 – 33.
2. Каблов Е. Н., Светлов И. Л., Петрушин Н. В. Никелевые жаропрочные сплавы для литья лопаток с направленной и монокристаллической структурой. Ч. I / Материаловедение. 1997. № 4. С. 32 – 39.
3. Miller J. D., Pollock T. M. Development and Application of Optimization Protocol For Directional Solidification: Integration Fundamental Theory, Experimentation and Modeling Tools / TMS: (Minerals, Metals & Materials Society). 2012. Р. 653 – 662.
4. Betz U., Jarczyk G., Seserko P. Economic Benefit of LMC Process for the Production of Turbine Components / 4<sup>th</sup> ALD Symposium. China. Sanya Hainan-Island. 2005.
5. Каблов Е. Н., Петрушин Н. В., Светлов И. Л. Компьютерное конструирование жаропрочного никелевого сплава IV поколения для монокристаллических лопаток газовых турбин / Литейные жаропрочные сплавы. Эффект С. Т. Кишкина. — М.: Наука, 2006. С. 98 – 115.
6. Каблов Е. Н., Ломберг Б. С., Оспенникова О. Г. Создание современных жаропрочных материалов и технологий их производства для авиационного двигателестроения / Крылья Родины. 2012. № 3 – 4. С. 34 – 38.
7. Каблов Е. Н., Оспенникова О. Г., Петрушин Н. В., Висик Е. М. Монокристаллический жаропрочный никелевый сплав нового поколения с низкой плотностью / Авиационные материалы и технологии. 2015. № 2(35). С. 14 – 25.
8. Каблов Е. Н., Светлов И. Л., Петрушин Н. В. Никелевые жаропрочные сплавы, легированные рутением / Авиационные материалы и технологии. 2004. № 1. С. 80 – 90.
9. Петрушин Н. В., Оспенникова О. Г., Висик Е. М., Рассохина Л. И., Тимофеева О. Б. Жаропрочные никелевые сплавы низкой плотности / Литейное производство. 2012. № 6. С. 5 – 11.
10. Шарова Н. А., Тихомирова Е. А., Барабаш А. Л., Живушкин А. А., Брауэр В. Э. К вопросу о выборе новых жаропрочных никелевых сплавов для перспективных авиационных ГТД / Вестник Самарского государственного аэрокосмического университета. 2009. № 3(19). С. 249 – 255.
11. Скибин В. А., Солонин В. И. Авиационное двигателестроение. Дорога в завтрашний день / Двигатель. 2007. № 5(53). С. 1 – 4.
12. Каблов Е. Н. Литые лопатки газотурбинных двигателей (сплавы, технология, покрытия). — М.: МИСИС, 2006. — 632 с.
13. Герасимов В. В., Петрушин Н. В., Висик Е. М. Усовершенствование состава и разработка технологии литья монокристаллических лопаток из жаропрочного интерметаллидного сплава / Труды ВИАМ. 2015. № 3. Ст. 01. <http://www.viam-works.ru> (дата обращения 10.04.2017).
14. Висик Е. М., Тихомирова Е. А., Петрушин Н. В., Оспенникова О. Г., Герасимов В. В., Живушкин А. А. Технологическое опробование нового жаропрочного сплава с низкой плотностью при литье турбинных рабочих монокристаллических лопаток / Металлург. 2017. № 2. С. 34 – 40.
15. Каблов Е. Н., Герасимов В. В., Висик Е. М., Демонис И. М. Роль направленной кристаллизации в ресурсосберегающей технологии производства деталей ГТД / Труды ВИАМ. 2013. № 3. Ст. 01. <http://www.viam-works.ru> (дата обращения 10.04.2017).
16. Оспенникова О. Г., Рассохина Л. И., Битюцкая О. Н., Гамазина М. В. Оптимизация технологии изготовления керамических стержней для улучшения качества литых лопаток ГТД / Новости материаловедения. Наука и технологии. 2017. № 3 – 4. С. 4 – 7.
17. Шалин Р. Е., Светлов И. Л., Качанов Е. Б., Толорая В. Н., Гаврилин О. С. Монокристаллы никелевых жаропрочных сплавов. — М.: Машиностроение, 1997. — 336 с.

## REFERENCES

1. **Kablov E. N.** Innovative developments of FSUE "VIAM" of the SSC RF for the implementation of "Strategic Directions for the Development of Materials and Technologies for Their Processing until 2030" / Aviats. Mater. Tekhnol. 2015. N 1. P 3 – 33 [in Russian].
2. **Kablov E. N., Svetlov I. L., Petrushin N. V.** Nickel high-temperature alloys for casting blades with a directional and single-crystal structure. Part I / Materialovedenie. 1997. N 4. P. 32 – 39 [in Russian].
3. **Miller J. D., Pollock T. M.** Development and Application of Optimization Protocol For Directional Solidification: Integration Fundamental Theory, Experimentation and Modeling Tools / TMS: (Minerals, Metals & Materials Society). 2012. P. 653 – 662.
4. **Betz U., Jarczyk G., Seserko P.** Economic Benefit of LMC Process for the Production of Turbine Components / 4<sup>th</sup> ALD Symposium. China. Sanya Hainan-Island. 2005.
5. **Kablov E. N., Petrushin N. V., Svetlov I. L.** Computer Design of Heatproof Nickel Alloy IV Generation for Monocrystalline Blades of Gas Turbines / Foundry superalloys. The S. T. Kishkin Effect. — Moscow: Nauka, 2006. P. 98 – 115 [in Russian].
6. **Kablov E. N., Lomberg B. C., Ospennikova O. G.** Creation of modern heat-resistant materials and technologies of their production for aircraft engine building / Kryl'ya Rodiny. 2012. N 3 – 4. P. 34 – 38 [in Russian].
7. **Kablov E. N., Ospennikova O. G., Petrushin N. V., Visik E. M.** A new-generation low-density single-crystal, heat-resistant nickel alloy / Aviats. Mater. Tekhnol. 2015. N 2(35). P. 14 – 25 [in Russian].
8. **Kablov E. N., Svetlov I. L., Petrushin N. V.** Nickel high-temperature alloys doped with ruthenium / Aviats. Mater. Tekhnol. 2004. N 1. P. 80 – 90 [in Russian].
9. **Petrushin N. V., Ospennikova O. G., Visik E. M., Rassokhina L. I., Timofeeva O. B.** High-temperature nickel alloys of low density / Liteinoe Proizv. 2012. N 6. P. 5 – 11 [in Russian].
10. **Sharova N. A., Tikhomirova E. A., Barabash A. L., Zhivushkin A. A., Brauer V. E.** On the choice of new high-temperature nickel alloys for advanced aircraft GTE / Vestn. Samar. Gos. Aeronav. Univ. 2009. N 3(19). P. 249 – 255 [in Russian].
11. **Skibin V. A., Solonin V. I.** Aircraft engine. The road to tomorrow / Dvigatel'. 2007. N 5(53). P. 1 – 4 [in Russian].
12. **Kablov E. N.** Cast blades of gas turbine engines (alloys, technology, coatings). — Moscow: MISIS, 2006. — 632 p. [in Russian].
13. **Gerasimov V. V., Petrushin N. V., Visik E. M.** Improvement of composition and development of technology for casting single-crystal blades from a high-temperature intermetallic alloy / Tr. VIAM. 2015. N 3. Art. 01. <http://www.viam-works.ru> (accessed 10.04.2017).
14. **Visik E. M., Tikhomirova E. A., Petrushin N. V., Ospennikova O. G., Gerasimov V. V., Zhivushkin A. A.** Technological testing of a new high-temperature alloy with low density during casting of turbine working single-crystal blades / Metallurg. 2017. N 2. P. 34 – 40.
15. **Kablov E. N., Gerasimov V. V., Visik E. M., Demonis I. M.** The Role of Directional Crystallization in Resource-Saving Technology for the Production of GTE Parts / Tr. VIAM. 2013. N 3. Art. 01. <http://www.viam-works.ru> (accessed 10.04.2017).
16. **Ospennikova O. G., Rassolina L. I., Bityutskaya O. N., Gamazina M. V.** Optimization of manufacturing technology of ceramic rods to improve the quality of cast blades GTD / Nov. Materialoved. Nauka Tekhnol. 2017. N 3 – 4. P. 4 – 7 [in Russian].
17. **Shalin R. A., Svetlov I. L., Kachanov E. B., Tolotraya V. N., Gavrilin O. S.** Single crystals of nickel refractory alloys. — Moscow: Mashinostroenie, 1997. — 336 p. [in Russian].